

ность теплового деления в реакции (1) многократно превосходит мощность всех других источников тепла. Это позволяет в изучаемых условиях исследовать влияние именно реакции (1) на акустическую неустойчивость плазмы.

Условие (6) при  $M \gg N$  принимает вид  $M \geq 10^{13} \text{ см}^{-3}$ . В связи с тем что реакция (1) в рассматриваемых условиях определяет распад возбужденных атомов конфигурации  $3p^5 4s$ , можно рассчитать время уменьшения концентрации возбужденных атомов в послесвечении до величины  $10^{13} \text{ см}^{-3}$ , определяющей порог возбуждения звуковых волн. Для  $M \geq 10^{14} \text{ см}^{-3}$  расчет дает для этого времени значение  $\sim 100 \text{ мкс}$  и результат мало ( $< 10\%$ ) зависит от начальной концентрации  $M$ .

Эксперименты показали, что при концентрации  $M \sim 10^{14} \text{ см}^{-3}$  в момент обрыва тока в течение  $\sim 150 \text{ мкс}$  происходит увеличение амплитуды акустических колебаний (их период равен  $50 \text{ мкс}$ ) на  $20-30\%$ . При больших временах амплитуда колебаний начинает экспоненциально уменьшаться, причем скорость распада растет со временем по мере уменьшения концентрации  $M$ , которая способствует раскачке колебаний. Через  $300-400 \text{ мкс}$  уменьшение амплитуды колебаний происходит экспоненциально с затуханием, на  $20-30\%$  меньшим, чем затухание звуковых волн в неионизованном аргоне. При меньших начальных концентрациях  $M$  возрастания амплитуды колебаний после обрыва тока не наблюдается, однако уменьшение затухания звуковых волн по сравнению с неионизированным аргоном хорошо заметно. Результаты этих экспериментов подтверждают возможность усиления акустических колебаний за счет энергии, выделяющейся в реакциях типа (1).

В заключение отметим, что акустическая неустойчивость рассмотренного типа может существовать в любой плазме с быстрыми электронами, например в плазме низковольтных пучковых разрядов или разрядов с сужениями.

Авторы выражают искреннюю признательность Л. Д. Цендину за полезные обсуждения работы.

### Литература

- [1] Цендин Л. Д. ЖТФ, 1965, т. 35, № 11, с. 1972—1977.
- [2] Недоспасов А. В., Хаим В. Д. Колебания и неустойчивости низкотемпературной плазмы. М.: Наука, 1979. 230 с.
- [3] Коган Е. Я., Молевич В. Н. ЖТФ, 1977, т. 47, № 3, с. 653—656.
- [4] Встовский Г. В., Козлов Г. И. ЖТФ, 1986, т. 56, № 8, с. 1536—1542.
- [5] Демидов В. И., Колоколов Н. Б., Торонов О. Г. Физика плазмы, 1986, т. 12, № 6, с. 702—707.
- [6] Демидов В. И., Скребов В. Н., Цымлякова Г. Е. Тез. докл. Всес. совещ. «Инверсная заселенность и генерация на переходах в атомах и молекулах». Томск, 1986, с. 236.
- [7] Фуголь И. Я., Григорашенко О. Н., Мышикис Д. А. ЖЭТФ, 1971, т. 59, № 1, с. 423—440.
- [8] Скребов В. Н., Эйхвальд А. И. Опт. и спектр., 1976, т. 41, № 1, с. 12—21.
- [9] Kudryvtsev A. A., Musienko T. V., Skrebov V. N. J. Phys. D, 1987, v. 20, N 6, p. 718—727.

Ленинградский горный институт  
им. Г. В. Плеханова

Поступило в Редакцию  
21 апреля 1984 г.

В окончательной редакции  
29 октября 1987 г.

УДК 537.311.33

Журнал технической физики, т. 58, в. 7, 1988

### ФОТОВОЛЬТАИЧЕСКИЙ ЭФФЕКТ В БАРЬЕРАХ $n\text{-CdO-CdGeP}_2$

А. В. Лунев, Ю. В. Рудь, М. А. Таиров, Ю. К. Ундалов

Гетероструктурная электроника [1] стала одним из главных каналов расширения функционального диапазона и улучшения параметров полупроводниковых приборов. Изучение возможностей гетероструктур на анизотропных полупроводниках, в частности, явилось основой к созданию поляриметрических фотодетекторов [2—6]. В настоящий период идет поиск путей получения эффективного энергетического барьера и накопление результатов экспериментальных исследований его физических свойств с целью построения теории поляриметрического явления. Данная работа продолжает систематические исследования [2—6] и посвящена

Тип ГП	Свойства CdGeP <sub>2</sub>					$\lambda = 0.62 \text{ мкм}$ , $L = 2 \text{ мВт/см}^2$	$V_{xx}, \text{ В}$	$i_{k_3}, \text{ мА/см}^2$	$V_D, \text{ эВ}$	$S_n, \text{ п/Вт}$	$S_i^{\max}, \text{ мА/Вт}$
	примесь	тип проводимости	$1/\  R \downarrow e, \text{ см}^{-3}$	$\Omega \cdot \text{см}$	$E_F, \text{ эВ}$						
$n-n$	In	$n$	$(2-5) \cdot 10^{13}$	$(1-3) \cdot 10^3$	$-(0.2-0.3)$	1	0.60	0.07	0.2	$3 \cdot 10^5$	24
$n-p$	Cu Ga	$p$ $p$	$(1-4) \cdot 10^{12}$ $(1-5) \cdot 10^{15}$	$10^3$ $10^5$	0.4 0.2	2 3 4 5	$-6 \cdot 10^{-5}$ $-6 \cdot 10^{-4}$	— — — —	0.2 0.2 —0.8 —1.0	$2 \cdot 10^5$ $2 \cdot 10^4$ 10 $10^2$	25 62

<sup>1</sup> Указана полярность фотонапряжения  $V_{xx}$  на слое  $n\text{-CdO}$ .

изучению фотовольтаического эффекта в гетероструктурах (ГС) на основе широкозонного слоя  $n\text{-CdO}$  ( $E_G \approx 2.3$  эВ [7]) и кристаллов CdGeP<sub>2</sub>  $n$ - и  $p$ -типа проводимости ( $E_G = 1.72$  эВ [7]).

ГС получали методом реактивного катодного напыления [8] CdO из Cd мишени в газовой среде Ar+O<sub>2</sub>. Поликристаллические слои наносились на плоскопараллельные пластины

CdGeP<sub>2</sub> со средними размерами  $2 \times 3 \times 0.5$  мм, ориентированные в плоскостях (100) или (110). Поверхность пластин полированась механически, а перед нанесением слоев обрабатывалась полирующим травителем. Слои были  $n$ -типа проводимости с удельным сопротивлением  $\rho \approx 1$  Ом·см и прозрачностью в пределах 80–85 % ( $nd \approx 0.3-0.4$  мкм). Слои наносились на кристаллы  $n$ - и  $p$ -типа, электрические параметры которых приведены в таблице. В качестве омического контакта к слою и подложкам  $n$ -типа применялся чистый индий, а в случае подложек  $p$ -типа — медь.

Стационарные вольт-амперные характеристики (ВАХ) полученных ГС обладают ярко выраженным выпрямлением (рис. 1, a). Пропускное направление  $n\text{-CdO}-p\text{-CdGeP}_2$  отвечает отрицательной полярности внешнего напряжения смещения на CdO, а для изотипных ГС — положительной, что находится в качественном соответствии с рассчитанными по диффузион-

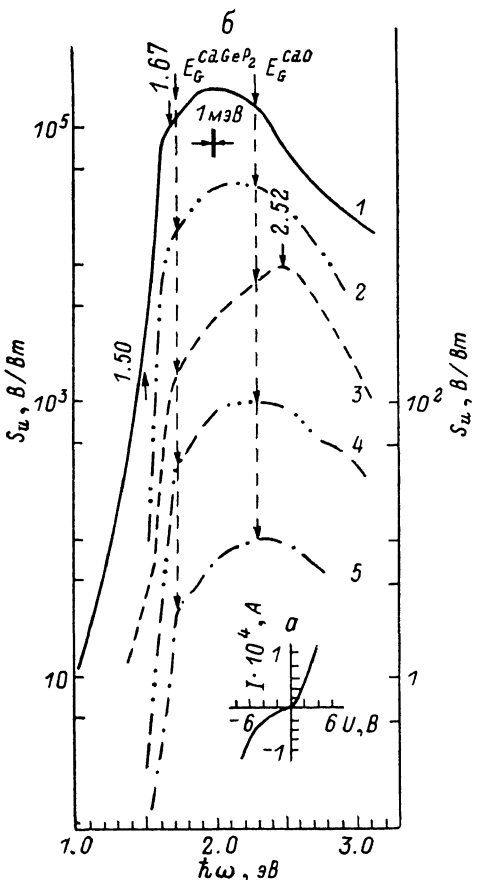


Рис. 1. Темновая ВАХ гетероструктуры  $n\text{-CdO}-n\text{-CdGeP}_2\langle\text{In}\rangle$  ( $T=300$  К, образец 3) (a) и спектральные зависимости вольтовой фоточувствительности гетероструктур  $n\text{-CdO}-\text{CdGeP}_2$ ,  $T=300$  К (б).

1—3 — изотипные, 4, 5 — анизотипные ГС. 1 — образец 2, 2 — образец 3, 3 — образец 10, 4 — образец 5, 5 — образец 4. Фоточувствительность пересчитана на равное число падающих фотонов, неполаризованный свет. Кривые 1—3 относятся к левой оси  $S_u$ , 4, 5 к правой оси  $S_u$ .

ной модели диаграммами энергетических зон этих контактов. С учетом параметров контактирующих полупроводников [7, 9, 10] и пренебрегая граничными состояниями, оценка разрывов в зоне проводимости и валентной зоне дает следующие значения:  $\Delta E_c \approx 0.5$  эВ и  $\Delta E_v \approx 1.1$  эВ, а полная контактная разность потенциалов  $V_D$  для реализованных в работе вариантов гетерограниц приведена в таблице. Из-за существенной разницы в уровне легирования слоев и тройного полупроводника активная область ГС практически полностью лежит

в CdGeP<sub>2</sub>. Прямая ветвь ВАХ полученных ГС не может быть охарактеризована постоянным значением фактора неидеальности, что является, по-видимому, следствием влияния высокого сопротивления CdGeP<sub>2</sub>. В области напряжений  $U > U_{\text{отс}}$  ВАХ можно аппроксимировать линейной зависимостью  $U = U_{\text{отс}} + r_{\text{ост}} I$ , которая в случае изотипных ГС дает величины  $U_{\text{отс}} \approx 0.4 \div 0.8$  В и  $r_{\text{ост}} \approx 10^3 \div 10^5$  Ом для различных образцов при 300 К. Обратная ветвь ВАХ изотипных ГС (рис. 1, а) имеет вид  $I \sim U^m$ , где  $m \approx 1 \div 2$ , что может быть обусловлено недостаточным совершенством периферии структур. Лучшие изотипные ГС имели коэффициент выпрямления 3—10 при  $U \approx 2$  В, тогда как анизотипные ГС, как правило, были более низкого качества.

При освещении всех полученных ГС ( $T = 80 \div 400$  К) и независимо от места попадания на них зондирующего излучения из спектрального диапазона 1—4 эВ, что превышает  $E_g$  контактирующих полупроводников, фотонапряжение холостого хода  $V_{xx}$  и фототок короткого замыкания  $i_{\text{кз}}$  сохраняют свой знак. В изотипных ГС слой CdO заряжается положительно, а в анизотипных отрицательно, что находится в качественном соответствии с расчетной энергетической диаграммой. С изменением плотности падающего потока  $L$  для ГС наблюдаются типичные зависимости:  $i_{\text{кз}} \sim L$  и  $V_{xx} \sim \ln L$ . Значения  $V_{xx}$  и  $i_{\text{кз}}$  для изотипных структур оказались, как и в случае SnO<sub>2</sub>—CdGeP<sub>2</sub> [6], на много порядков выше, чем для анизотипных. В области высоких плотностей потока освещения для лучших изотипных ГС ( $L \approx 1$  Вт/см<sup>2</sup>, солнечное освещение)  $V_{xx} \approx 1$  В и  $i_{\text{кз}} \approx 2$  мА/см<sup>2</sup>. Это значение  $V_{xx}$  существенно выше величины  $V_D$  для  $n-n$  ГС (см. таблицу), тогда как для анизотипных  $V_{xx} \ll V_D$ . Несоответствие расчетных величин  $V_D$  с  $V_{xx}$  в области высоких  $L$  может быть следствием приближенности оценки электронного сродства [9, 10], а также неучета реальной структуры гетерограницы, которая в случае контакта использованных полупроводников разных кристаллических классов характеризуется высоким несоответствием параметров их решеток 7—10 % [7]. Наблюданное преимущество изотипных ГС по сравнению с анизотипными связано, по-видимому, с тем, что в них играют роль только основные носители — электроны.

Полученные ГС при освещении со стороны CdO обнаруживают фоточувствительность (ФЧ) в широком спектральном диапазоне. Типичные спектры вольтовой фоточувствительности  $S_u$ , которые позволили реализовать использованный метод нанесения слоев CdO на кристаллы CdGeP<sub>2</sub>, приведены на рис. 1, б. В изотипных и анизотипных ГС максимальная ФЧ к неполяризованному излучению приходится на область между ширинами запрещенных зон CdO и CdGeP<sub>2</sub>, т. е. имеет место известный эффект «окна» [11]. Длинноволновый край фоточувствительности ГС при  $\hbar\omega < 1.5$  эВ определяется поглощением на уровнях дефектов решетки CdGeP<sub>2</sub> и согласуется с данными измерений фотопроводимости этих кристаллов. Экспоненциальный край ФЧ в изотипных ГС характеризуется высокой крутизной  $\sim 40 \div 70$  эВ<sup>-1</sup> и смешен относительно случая ГС с подложками из  $p$ -CdGeP<sub>2</sub> в длинноволновую область на 50—70 мэВ. Это связано с фотоактивным поглощением с участием уровней донорной примеси In. Энергетическое положение излома, наблюдаемое в спектрах фотоответа анизотипных ГС (рис. 1, б, кривые 4, 5), соответствует энергии прямых  $A$ -переходов в CdGeP<sub>2</sub>. Характерной особенностью спектров ФЧ всех ГС является рост фотоответа при  $\hbar\omega > E_g^{\text{CdGeP}_2}$ . В ряде ГС рост ФЧ наблюдается и при  $\hbar\omega > E_g^{\text{CdO}}$ , что свидетельствует о возможности получения достаточно совершенной гетерограницы. В большинстве ГС начало коротковолнового спада  $S_u$  соответствует межзонному поглощению в материале слоя. Наблюданное различие в абсолютных значениях ФЧ и ее спектральному контуру обусловлено особенностями процесса нанесения слоев и, возможно, колебаниями в их составе. Это как раз и может приводить к установленному смещению абсолютного максимума ФЧ (рис. 1, б, кривые 1—3), которое обусловлено изменением условий рекомбинации носителей на гетерогранице.

При изменении температуры спектральный контур ФЧ гетероструктур остается практически неизменным, что свидетельствует о сохранении основных механизмов фоточувствительности ГС в области 80—400 К. С понижением  $T$  наблюдается параллельное смещение длинноволнового края ФЧ в коротковолновую область, что соответствует характеру межзональных переходов в CdGeP<sub>2</sub>. Температурный коэффициент изменения  $E_g^{\text{CdGeP}_2} \approx -2.7 \cdot 10^{-4}$  эВ/К, что согласуется с энергетическим положением краевого пика фотoluminesценции CdGeP<sub>2</sub>.

Вольтовая фоточувствительность изотипных ГС в зависимости от температуры (рис. 2) имеет вид кривой с максимумом, который достигается вблизи комнатной температуры и связан, по-видимому, с изменениями времени жизни фотоэлектронов в активной области ГС. С ростом  $T > 290$  К наблюдаемый процесс снижения ФЧ подчиняется выражению  $S_u \sim$

$\sim \exp(E_D/kT)$ , причем энергия активации этого процесса согласуется с энергией ионизации доноров в кристаллах CdGeP<sub>2</sub><In>, полученной из измерений эффекта Холла.

При освещении линейно-поляризованным излучением со стороны CdO вдоль нормали к гетерогранице изотипные ГС обнаруживают естественную поляризационную ФЧ с максимумом приблизительно  $E_G^{\text{CdGeP}_2}$ . Поляризационная диаграмма ФЧ гетероструктур аналогична наблюдаемой по фотопроводимости CdGeP<sub>2</sub><In> и, следовательно, полностью определяется анизотропией фотоактивного поглощения в тройном полупроводнике. Длинноволновый край  $S_u$  в поляризованном свете расщепляется и в соответствии с правилами отбора для  $A$ -переходов  $S_u^{\parallel} > S_u^{\perp}$ , а максимум отношения  $S_u^{\parallel}/S_u^{\perp} \approx 10$ . Поляризационные свойства изотипных ГС на основе CdO оказываются близкими к установленным ранее в гетеропереходах SnO<sub>2</sub>—CdGeP<sub>2</sub> [6].

На рис. 3 приведены типичные спектры поляризационной разности вольтовой фоточувствительности  $\Delta S_u$  — одного из основных параметров поляриметрического фотодетектора. Длинноволновый край  $\Delta S_u$  экспоненциален и определяется фоточувствительностью в поляризации  $E \parallel c$  для всех изотипных ГС. Максимум  $\Delta S_u$  достигается приблизительно энергии  $A$ -переходов в CdGeP<sub>2</sub>, а излом или четкая ступенька в спектре  $\Delta S_u$  некоторых ГС (рис. 3, кривая 1) при  $\hbar\omega \approx 1.67$  эВ свидетельствуют о том, что примесное фотоактивное поглощение также

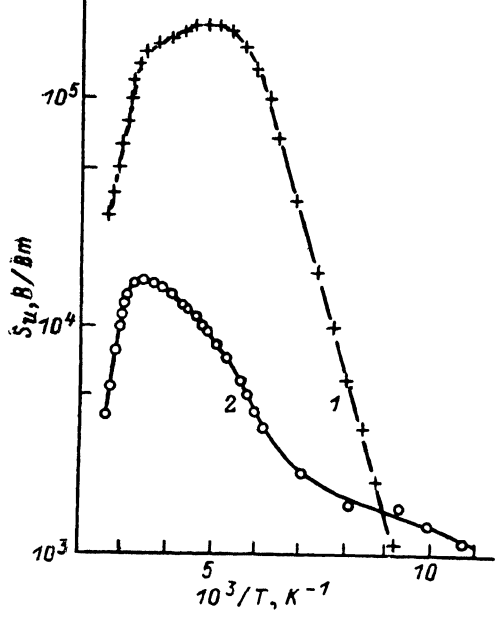


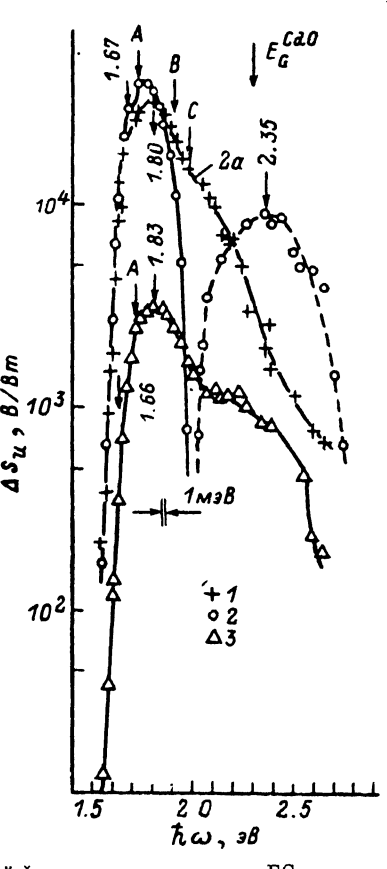
Рис. 2. Температурная зависимость вольтовой фоточувствительности ГС.

$\hbar\omega = 1.96$  эВ, неполяризованный свет. 1 — образец 3, 2 — образец 18.

Рис. 3. Спектральные зависимости поляризационной разности вольтовой фоточувствительности  $\Delta S_u = S_u^{\parallel} - S_u^{\perp}$  изотипных ГС.

$T = 300$  К. 1 — образец 3, 2 — образец 3—1, 3 — образец 10. Сплошная кривая —  $\Delta S_u > 0$ , штриховая —  $\Delta S_u < 0$ . Стрелками указаны энергии  $A$ ,  $B$ ,  $C$  переходов для CdGeP<sub>2</sub> [12].

сильно анизотропно, причем знак  $\Delta S_u$  для примесного поглощения и переходов электронов из верхней валентной зоны в зону проводимости в соответствии с квазикубической моделью зонной структуры [12] положителен. Коротковолновый спад  $\Delta S_u$  соответствует наступлению переходов из отщепленных кристаллическим полем и спин-орбитальным взаимодействием валентных зон в зону проводимости, которые доминируют при  $E \perp c$ . Как видно из рис. 3, в различных изотипных ГС спектральный контур  $\Delta S_u$  может сильно различаться вплоть до проявления инверсии знака поляризационной разности на отрицательный. Кривые 1—3 получены на ГС, созданных на одной и той же плоскости монокристалла в различных технологических процессах. Следовательно, инверсия знака  $\Delta S_u$  может быть отнесена только на счет различного качества гетерограницы и различий в скорости рекомбинации. На основа-



ии наблюдаемой чувствительности величины и спектрального контура  $\Delta S_u$  к условиям нанесения слоев (рис. 3) можно считать, что познание этой взаимосвязи откроет возможность создания фотоанализаторов с заданными параметрами.

Спектры коэффициента естественного фотоплеохроизма  $\Phi$  типичных изотипных ГС представлены на рис. 4. Максимальное значение положительного  $\Phi \approx 70 \div 80\%$  достигается в примесной области, и в диапазоне  $T=80 \div 400$  К его величина остается практически неизменной.

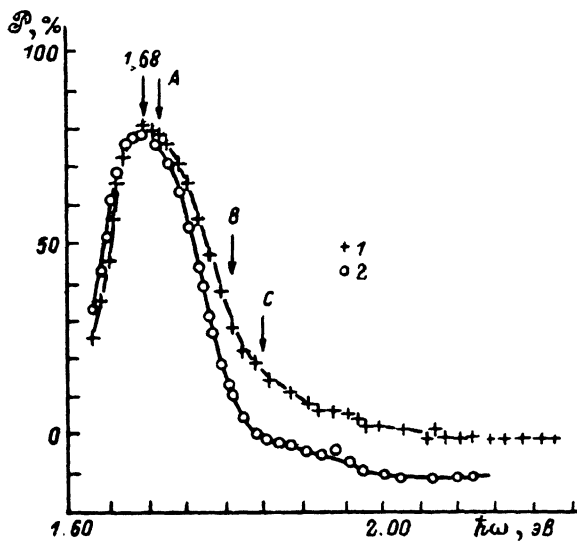


Рис. 4. Спектральные зависимости коэффициента фотоплеохроизма изотипных ГС.

$T=300$  К. 1 — образец 3, 2 — образец 3—1. Стрелками указаны энергии  $A$ ,  $B$ ,  $C$  переходов в  $\text{CdGeP}_2$  [12].

тогда как энергетическое положение максимума смещается в соответствии с  $\alpha$ . В случае ГС, для которых с ростом  $\hbar\omega$  между  $E_g^{\text{CdGeP}_2}$  и  $E_g^{\text{CdO}}$  ФЧ не снижается,  $\Phi > 0$  во всей области ФЧ (рис. 4, кривая 1). Инверсия  $\Phi < 0$  в коротковолновой области проявляется для таких ГС, у которых максимум в спектре ФЧ реализуется при  $\hbar\omega < E_g^{\text{CdO}}$ . Эти закономерности, как и рассмотренные выше для  $S_u$ , отражают очевидную связь  $\Phi$  с совершенством гетерограницы.

Для лучших ГС  $n\text{-CdO}—n\text{-CdGeP}_2\langle\text{In}\rangle$  вольтовая и токовая азимутальная фоточувствительности составляют  $\Phi_u \approx 1 \cdot 10^3$  В/Вт·град и  $\Phi_i \approx 0.8$  мА/Вт·град ( $\hbar\omega \approx 1.68$  эВ,  $T=300$  К) соответственно. Полученные параметры указывают на возможность применения созданных изотипных гетероструктур в качестве поляриметрических фотодетекторов.

### Литература

- [1] Алферов Ж. И. В кн.: Наука и человечество. Международный ежегодник. М., 1976, с. 276—289.
- [2] Рудь Ю. В., Ундалов Ю. К., Дагина Н. Е. ФТП, 1979, т. 13, № 3, с. 515—520.
- [3] Лунев А. В., Рудь Ю. В., Скорюкин В. Е. и др. Тез. докл. III Всес. конф. по физическим процессам в полупроводниковых гетероструктурах. Одесса, 1982, т. 1, с. 23—25.
- [4] Абдурахимов А. А., Рудь Ю. В., Санин К. В. и др. ЖТФ, 1983, т. 53, № 2, с. 325—328.
- [5] Абдурахимов А. А., Карлина Л. Б., Рудь Ю. В. и др. Письма в ЖТФ, 1982, т. 8, № 24, с. 1477—1481.
- [6] Лунев А. В., Рудь Ю. В., Таиров М. А. и др. ЖПС, 1986, т. 44, № 2, с. 247—251.
- [7] Физико-химические свойства полупроводниковых веществ. Справочник. М.: Наука, 1978, с. 339.
- [8] Kunioka A., Sakai Y. Jap. J. Appl. Phys., 1968, v. 7, N 9, p. 1138—1139.
- [9] Shay J. L., Wagner S., Phylips J. C. Appl. Phys. Lett., 1976, v. 28, N 1, p. 31—33.
- [10] Singh R., Rajkanan K., Brodie E., Morgan J. H. IEEE Trans. Electron Devices, 1980, v. ED-27, N 4, p. 656—662.
- [11] Милнес А., Фойхт Д. Гетеропереходы и переходы металл—полупроводник. М.: Мир, 1975. 430 с.
- [12] Shay J. L., Buchler E., Wernick J. H. Phys. Rev., 1971, v. B4, N 8, p. 2479—2485.

Физико-технический институт  
им. А. Ф. Иоффе АН СССР  
Ленинград

Поступило в Редакцию  
21 апреля 1987 г.